

不同膜组件应用于重力出水式膜生物反应器的性能比较

蔡亮^{1,2} 杨建州^{1*} 王林权² 白志辉¹

(1. 中国科学院生态环境研究中心, 北京 100085; 2. 西北农林科技大学资源环境学院, 杨凌 712100)

摘要 通过曝气强度的调节, 对2种不同膜组件用于重力出水式膜生物反应器处理生活污水进行可行性研究。结果表明: 本重力出水式膜生物反应器的经济曝气强度约为 $40 \text{ m}^3/(\text{m}^2 \cdot \text{h})$ 。此时对氨氮、COD、浊度的平均去除率分别为: 97.8%、90.8%和99.4%。对比膜通量与曝气强度的关系, 膜组件A(膜丝材质为聚乙烯, 直径0.54 mm, 孔径0.4 μm , 膜面积为 9.0 m^2)比膜组件B(膜丝材质为聚偏氟乙烯, 直径0.80 mm, 孔径0.22 μm , 膜面积为 12.5 m^2)具有更好的经济性, 适合于改造为重力出水式膜生物反应器。在线化学清洗方式下, 膜组件A可以比膜组件B更快地恢复膜通量。

关键词 膜生物反应器 重力出水 曝气强度 对比

中图分类号 X703 文献标识码 A 文章编号 1673-9108(2009)10-1763-04

Comparison of different membrane moulds in membrane bioreactor with gravity flow

Cai Liang^{1,2} Yang Jianzhou¹ Wang Linquan² Bai Zihui¹

(1. Research Center for Eco-Environmental Sciences, Chinese Academy of Sciences, Beijing 100085, China;

2. College of Resources and Environment, Northwest Agriculture and Forestry University, Yang ling 712100, China)

Abstract By regulating the aeration intensity, the performances of different membrane moulds in membrane bioreactor with gravity flow were compared. The results indicated that the optimization aeration intensity is $40 \text{ m}^3/(\text{m}^2 \cdot \text{h})$. The average removal rates of $\text{NH}_4^+ \text{-N}$, COD and turbidity are 97.8%、90.8% and 99.4% respectively. By comparison the permeate flux and aeration intensity, the mould A (material: PVDF, diameter: 0.54 mm, aperture: 0.4 μm , membrane area: 9.0 m^2) was economical efficiency than the mould B (material: PE, diameter: 0.80 mm, aperture: 0.22 μm , membrane area: 12.5 m^2), and the mould A was fit for membrane bioreactor with gravity flow. The cleaning effect of NaClO online backwashing on membrane mould A was better than that of membrane mould B.

Key words membrane bioreactor; gravity flow; aeration intensity; comparison

最近几年, 在生物处理废水工艺中, 膜生物反应器(MBR)技术变得越来越有吸引力。由于它的高效性、紧凑的系统和较低的剩余污泥产生量, 所以越来越多地用于城市污水的回用^[1]。

浸没式MBR结合了膜技术与生物反应器技术, 是高效污水处理系统的一个新亮点。当前浸没式MBR仍然有许多问题需要克服^[2,3], 如过高的运营成本, 过高的能耗, 膜通量的下降, 以及某些不确定因素(膜渗透性的变化, 环境污染的影响)导致的设备布置、设计和操作的困难等。随着高分子材料科学的发展, 膜材料的改性应用可以延长膜的使用寿命, 这样就可以降低膜组件的更换费用, 从而降低运行成本。目前, 膜污染现象及过高的能耗仍然是阻碍这项技术推广的主要障碍。

重力出水式MBR, 省去抽吸泵, 利用不同重力水头的变化出水。一定程度上降低了能耗。同时, 也可降低生物反应器内污泥向膜表面迁移的速度, 减少污泥颗粒在膜表面因浓差极化而产生的沉积, 从而延长了膜污染发生的时间。在MBR中, 曝气不仅提供生物反应器内微生物所消耗的氧源, 气泡的冲刷作用还可以减轻膜表面的膜污染现象, 减轻在膜表面上急速增长的各种类型的膜污染, 提高膜通

基金项目: 中日政府间科技合作计划(2003DFB00016); 中国科学院知识创新课题(KSCX2-YW-G-054-2)

收稿日期: 2008-12-12; 修订日期: 2009-02-08

作者简介: 蔡亮(1983~), 男, 硕士研究生, 主要从事污水处理及资源化研究工作。E-mail: volvo443258@163.com

* 通讯联系人, E-mail: jzhyang@rcees.ac.cn

量^[4,5]。我们认为,存在着经济曝气强度的概念,即膜生物反应器系统在经济膜通量运行时的曝气强度。在经济曝气强度下,可以达到较高膜通量和较长膜清洗周期及较低运行费用的统一。本试验的目的是通过对曝气强度的调节,对2种不同膜组件用于重力出水式膜生物反应器处理生活污水进行可行性研究。

1 试验设备与方法

1.1 试验设备

试验系统如图1所示,生物反应器容积为2.5 m³;膜组件A膜丝材质为聚乙烯(PE),膜丝直径0.54 mm,膜表面孔径0.4 μm,由3片中空纤维帘式膜片并联组成,每片膜面积为3 m²,共9 m²;膜丝排布方向与曝气方向垂直,置于膜箱中,膜箱截面积为0.06 m²。膜组件B膜丝材质为聚偏氟乙烯(PVDF),膜丝直径0.80 mm,膜表面孔径0.22 μm,为单片中空纤维帘式膜组件,膜面积为12.5 m²,膜丝排布方向与曝气方向平行,置于膜箱中,膜箱截面积为0.09 m²。将2组膜片置于同一生物反应器内,达到外部环境的一致。进水及液位采用浮球控制,所有电器电路统一由PLC控制,达到智能化水平。

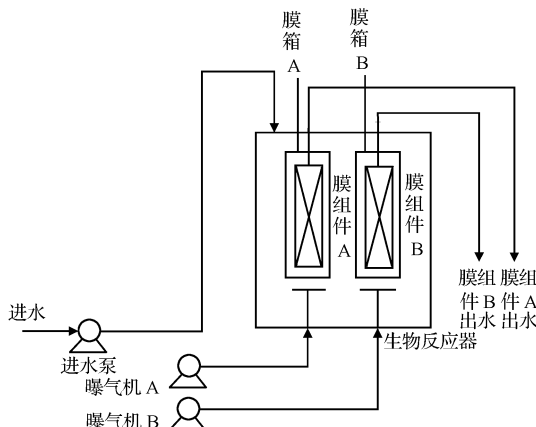


图1 重力出水式膜生物反应器图例

Fig. 1 Sketch of membrane bioreactor with gravity flow

试验用水直接取自北京某污水处理中心初沉池,污水水质如表1所示,所用接种污泥也来自该厂。

表1 供试污水水质

Table 1 Characteristics of wastewaters

项目	平均值	变化范围
pH	7.79	7.61~7.89
浊度(NTU)	25.43	13.33~35.81
COD(mg/L)	43	26~66
氨氮(mg/L)	20.025	7.25~25
溶解氧(mg/L)	1.78	0.34~2.52

曝气池活性污泥。经过20 d驯化后达到成熟,MLSS为1 500~3 000 mg/L。待系统稳定运行100 d后开始进行试验。

1.2 方 法

试验设计5个不同曝气强度,分别为20、30、40、50和60 m³/(m²·h)。每个强度下运行9 d,运行时出水阀门调整至最大流量,每个强度周期下运行9 d,使生物反应器运行稳定。每周期结束后测定进水,2膜组件出水及上清液(上清液采集:参照传统活性污泥污水处理法,停止设备曝气,静置沉淀2 h)的溶解氧,浊度,氨氮,COD及生物反应器内的MLSS。测定方法参照文献[6]。

溶解氧用HACH Sension6溶解氧测定仪测定;浊度用HANNA LP2000浊度测定仪测定;氨氮测定采用纳氏比色法;COD测定采用重铬酸钾氧化法;MLSS测定采用重量法。

2 结果与讨论

2.1 溶解氧及MLSS的变化

图2中,2个膜组件出水的DO值都符合《城市污水再生利用 城市杂用水水质标准》(GB/T18920-2002);并且当曝气强度为40 m³/(m²·h)时,2个膜组件出水的DO值达到最大值5.45 mg/L和5.87 mg/L。同时还发现过高或过低的曝气强度均出现出水DO值下降的现象。这可能是由于:当曝气强度较小(<40 m³/(m²·h))时,由于从外界向反应器内通入的空气较少,所以反应器内的氧分子供应不足,大部分氧分子都被好氧微生物所消耗,造成出水DO值偏低;当曝气强度较大(>40 m³/(m²·h))时,外界向反应器内通入的空气较多,反应器内氧分子供应十分充足,形成对好氧微生物十分适宜的环境,这时好氧微生物对氧分子进行过量吸收且开始繁殖,造成反应器内生物量放大,对氧分子的需求也就随之增加,导致了氧分子供应的相对减少,所以致使出水DO值偏低。同时,由于进水有机物含量较低,以及反应器内好氧微生物的不断繁殖,过低的碳源无法供给反应器内过高的生物量需求,造成部分微生物的死亡,从而导致MLSS的降低。所以当曝气强度约为40 m³/(m²·h)左右时,反应器内溶解氧供应与微生物生物量的需求达到相对的统一。

2.2 氨氮、COD、浊度的去除率情况

膜组件A出水中氨氮去除率为92.5%~99.6%;膜组件B出水中氨氮去除率为91.6%~98.5%;上清液中氨氮去除率为78.9%~82.3%(见图3)。2个膜组件的膜相对截流效率(MBR出水中对污染物质的去除率与上清液中对污染物质的

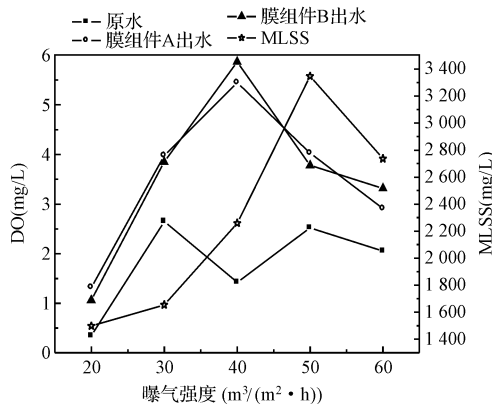


图 2 溶解氧及 MLSS 变化情况

Fig. 2 Changes of DO and MLSS

去除率之差,可以表示膜组件对水体中污染物的筛分,截流效果)分别为 10.2% ~ 20.7% 与 10.1% ~ 19.6%。所以曝气强度的变化对于 2 个膜组件出水氨氮去除率无较大影响,且 2 个膜组件出水中氨氮的去除率也无明显差异。

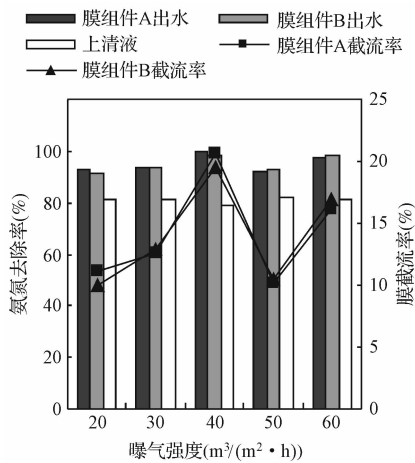


图 3 氨氮去除率的变化情况

Fig. 3 Changes of removal efficiency for $\text{NH}_4^+ \text{-N}$

如图 4 所示,膜组件 A 出水中 COD 去除率为 88.1% ~ 100%;膜组件 B 出水中 COD 去除率为 75.8% ~ 100%;上清液中 COD 去除率为 21.4% ~ 74.1%。2 个膜组件的膜相对截流效率分别为 25.9% ~ 66.7% 与 25.8% ~ 78.6%。曝气强度的变化对上清液中 COD 的去除率有较大影响,具体表现为:上清液中 COD 的去除率与曝气强度的变化成正相关性,当曝气强度较低时,上清液中 COD 的去除率也较低。这时膜组件的高效截流作用发挥了重要作用,保证了系统整体较高的 COD 去除率。对比 2 个膜组件的膜相对截流效率:随着曝气强度的变化,2 个膜组件的出水 COD 去除率无较明显变化,膜组件 A 的膜相对截流效率要稍高于膜组件 B 的

膜相对截流效率。这表明:膜组件 A 对于反应器内未分解还原性物质的截流效率要稍高于膜组件 B;对污水中 COD 的去除有较高的效率。如图 5 所示,膜组件 A 出水中浊度去除率为 94.6% ~ 99.7%;膜组件 B 出水中浊度去除率为 99.4% ~ 100%;上清液中浊度去除率为 3.7% ~ 83.6%。2 个膜组件的膜相对截流效率分别为 15.7% ~ 96% 与 15.8% ~ 96.6%。2 个膜组件对于浊度均有较好的去除效率,无明显差异。

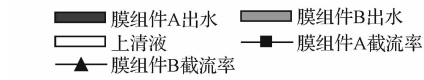


图 4 COD 去除率的变化情况

Fig. 4 Changes of removal efficiency for COD

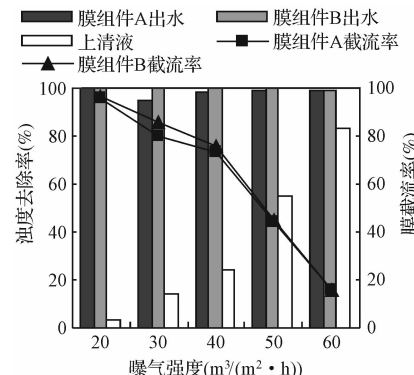


图 5 浊度去除率的变化情况

Fig. 5 Changes of removal efficiency for turbidity

2.3 经济性对比回分析

重力水头驱动力较抽吸泵动能较小,所以随之带来的就是出水膜通量的降低,图 6 为试验期间内 2 个膜组件膜通量的变化情况,在重力出水方式运行下,膜组件 A 的平均膜通量为 $8.7 \text{ L}/(\text{m}^2 \cdot \text{h})$,而此膜组件于抽吸出水方式下的设计平均膜通量为 $10.4 \text{ L}/(\text{m}^2 \cdot \text{h})$,为设计膜通量的 83.7%。但是重力式出水较小的驱动力,可以减轻反应器内有机物质及大颗粒物质在膜表面的堆积,从而可以减少在

膜表面冲刷的曝气量。膜组件A经济曝气强度约为 $40 \text{ m}^3/(\text{m}^2 \cdot \text{h})$,而设计曝气强度为 $120 \sim 150 \text{ m}^3/(\text{m}^2 \cdot \text{h})$,重力出水方式为设计曝气强度的 $26.7\% \sim 33.3\%$ 。膜组件B于重力出水方式下的平均膜通量为 $3.7 \text{ L}/(\text{m}^2 \cdot \text{h})$,经济曝气强度约为 $40 \text{ m}^3/(\text{m}^2 \cdot \text{h})$;设计膜通量为 $12 \sim 18 \text{ L}/(\text{m}^2 \cdot \text{h})$,设计曝气强度为 $25 \sim 75 \text{ m}^3/(\text{m}^2 \cdot \text{h})$ 。重力出水式的膜通量为设计膜通量的 $20.7\% \sim 31.1\%$,设计曝气强度的 $53.3\% \sim 160\%$ 。膜组件A比膜组件B具有更好的经济性。

